

УДК 535.15; 535.135

Воздействие нестационарного электрического поля на углеродные нанотрубки

Н.Р. Садыков¹, Н.А. Скоркин^{2*}

¹ФГБОУ ВПО «ЮУрГУ» (НИУ)

456770, г. Снежинск, Челябинская обл., ул. 40 лет Октября, 7

²СФТИ НИЯУ МИФИ

456776, г. Снежинск, Челябинская обл., Комсомольская, 8

Поступила в редакцию 19.07.2011 г.

Рассмотрен механизм воздействия нестационарного электрического поля на систему нанотрубок. На основе полученных результатов предсказан эффект генерации миллиметрового излучения. Приведены результаты математического моделирования.

Ключевые слова: СВЧ-излучение, наночастицы, электрическое поле; microwave radiation, nanoparticles, electric field.

Введение

В последнее время пристальное внимание исследователей привлекают низкоразмерные структуры (nanoструктуры): фуллерены, одно- и многослойные нанотрубки, нанопроволочки, nanoструктуры на основе молекулы ДНК и т.п. В зависимости от радиуса нанотрубок (НТ) и схемы сворачивания графитовой плоскости НТ могут быть проводниками, полуметаллами и полупроводниками. Эти и другие уникальные свойства НТ приводят к следствиям при их взаимодействии с электромагнитным излучением. В настоящей статье показано, что в результате взаимодействия НТ с нестационарным электрическим полем возможен механизм генерации миллиметрового излучения.

Рассмотрим углеродные нанотрубки радиуса R . Если НТ находится под переменным электрическим потенциалом, то по ней потечет переменный электрический ток. Зависимость наводимого тока от приложенного напряжения определяет характеристики НТ как электрического проводника [1–8]. Проводимость НТ определяется не классическими, а квантовыми законами движения π -электронов. Процесс переноса заряда под действием приложенного напряжения осуществляется по нескольким каналам (четыре канала): двукратное спиновое вырождение и двукратное вырождение зонной структуры в точке уровня Ферми. Если рассматривать НТ как бесконечно длинную электрическую цепь, единичный интервал которой характеризуется кинетической индуктивностью L_k , квантовой емкостью C_Q и электростатической емкостью C_{EQ} на единицу длины [9],

то углеродную НТ можно рассматривать как линию передачи, где параметры линии определяются выражениями

$$L_k = h/(8e^2 v_F), \quad C_Q = 8e^2/(hv_F), \\ C_{EQ} \approx 2\pi/\ln(a/(2R)), \quad (1)$$

где a – расстояние, например, до параллельно расположенной оси НТ плоскости; $h \approx 6,6 \cdot 10^{-34}$ Дж·с – постоянная Планка; $e = 1,6 \cdot 10^{-19}$ Кл – заряд электрона; v_F – скорость π -электрона на уровне Ферми; суммарная электрическая емкость получается как последовательное соединение C_Q и C_{EQ} . Покажем, что в среде на основе продольно ориентированной вдоль нестационарного электрического поля системы НТ возможна генерация СВЧ-излучения.

В случае макроскопических антенных вибраторов оптимальная длина антенны l и длина волны λ_h плотности тока связаны соотношением $l = \lambda_h/2$. В случае углеродных НТ волновое число поверхности электромагнитных волн в углеродных НТ (постоянная распространения) $h_0 = k/\beta$, где $\beta \ll 1$ – коэффициент замедления, $k = 2\pi/\lambda$, λ – длина волны излучения в вакууме. Поэтому для нанотрубок при оптимальной длине антенны l [9, С. 434] имеет место соотношение $l = \lambda \operatorname{Re}(\beta)/2$. Такое существенное качественное отличие макроскопических вибраторов от наноантенн объясняется большим значением кинетической индуктивности наноантенн [9, 10] (на 4 порядка больше, чем у магнитной индуктивности [11]). В работах [4, 5, 9] показано, что для металлических НТ типа (9,0) «зигзаг» значение $\beta \approx 0,02$ в диапазоне частот $10^{-5} < kb < 10^{-3}$, где $b = 1,42 \cdot 10^{-10}$ м – расстояние между атомными центрами в НТ. Поэтому при $l = 1$ мкм в оптимальном режиме излучения антенны $\lambda \approx 100$ мкм.

* Наиль Рахматуллович Садыков (n.r.sadykov@rambler.ru); Николай Андреевич Скоркин (n.a.scorkin@rambler.ru).

Теперь рассмотрим влияние на антенные свойства НТ тепловых потерь. Большое значение кинетической индуктивности в НТ приводит к тому, что в реактивном сопротивлении можно пренебречь емкостным сопротивлением, поэтому учет омического сопротивления фактически эквивалентен замене $(-i\omega L_k \rightarrow -i\omega L_k + R_a)$, где R_a – электрическое сопротивление НТ на единицу длины. Экспериментально полученное в [12] значение сопротивления $R_a \approx 10 \text{ кОм} \cdot \text{мкм}^{-1}$.

Для кинетической индуктивности $L_k = h/(8e^2 v_F)$, где обратное значение кванта проводимости равно $h/(2e^2) = 12,6 \text{ кОм}$. В результате из условия реализации высокоеффективных наноантенн [8] (малые физические потери) следует, что $\omega \gg R_a/L_k \approx 3 \cdot 10^{12} \text{ с}^{-1}$, т.е. $\lambda \ll 1,5 \text{ мм}$.

Далее рассмотрим частоту $kb = 10^{-6}$. В этом случае $\beta \approx 0,02$, $\lambda \approx 0,95 \text{ мм}$ ($\omega \approx 2 \cdot 10^{12} \text{ с}^{-1}$). Соответственно при длине волны $\lambda \approx 1 \text{ мм}$ оптическая длина $l = \lambda \operatorname{Re}(\beta)/2 \approx 10 \text{ мкм}$. Условие $kb = 10^{-6}$ означает, что поверхностные волны не будут слабозатухающими (условие слабого затухания волн [12] $10^{-5} < kb < 10^{-3}$).

В [10] для нанотрубок было получено уравнение Леоновича–Левина. Уравнение для нулевого члена плотности тока $j^{(0)}(z) \sim \exp(ih_0 z - i\omega t)$ в разложении по малому параметру $1/X$ запишется в виде

$$\left[\frac{\partial^2}{\partial z^2} + \left(k^2 - \frac{i\omega}{2\pi\sigma_z RX} \right) \right] j^{(0)}(z) = -\frac{i\omega}{2\pi RX} E_{0z}(z), \quad (2)$$

где $k = \omega/c = 2\pi/\lambda$, c – скорость света в вакууме; σ_z – аксиальная проводимость металлической (например, типа «кресло») нанотрубки [3, 10, 12]; R – радиус нанотрубки; в соответствии с [3, 4]:

$$X = -2K_0(\sqrt{h_0^2 - k^2} R) I_0(\sqrt{h_0^2 - k^2} R), \\ \sigma_z \approx i4e^2 v_F / [\pi h R(\omega + iv)], \quad (3)$$

где $X < 0$; $K_0(\xi)$, $I_0(\xi)$ – модифицированные функции Бесселя, $v = 1/\tau$, τ – среднее время свободного пробега электрона для УНТ, которое в приближении времени релаксации позволяет вычислить интеграл столкновения в кинетическом уравнении Больцмана.

Из выражения для σ_z (3) следует выражение для кинетической индуктивности [12] L_k из (1) и активного электрического сопротивления R_a на единицу длины нанотрубки:

$$R_a = 1/(2\pi R\sigma_z) \approx h/(8e^2 v_F \tau). \quad (4)$$

Перепишем (2) с учетом (3) следующим образом:

$$\left[\frac{\partial^2}{\partial z^2} + \omega^2 \left\{ \frac{1}{c^2} + \frac{\pi}{4\alpha c v_F |X|} \right\} + i \frac{\pi}{4\alpha c v_F |X|} v\omega \right] j^{(0)} = \\ = -\frac{i\omega}{2\pi RX} E_{0z}(t, z), \quad (5)$$

где $\alpha = e^2/(\hbar c) \approx 1/137$ – постоянная тонкой структуры.

Из дисперсионного уравнения (5) следует уравнение для поверхностной плотности тока

$$\frac{\partial^2 j^{(0)}}{\partial t^2} + v \frac{\partial j^{(0)}}{\partial t} - \beta^2 c^2 \frac{\partial^2 j^{(0)}}{\partial z^2} = -\frac{\beta^2 c^2}{2\pi RX} \frac{\partial E_{0z}}{\partial t}, \quad (6)$$

где

$$\beta^2 = 1 / \left\{ 1 + \frac{c}{v_F} \frac{\pi}{4\alpha |X|} \right\}. \quad (7)$$

При выводе (6) во втором слагаемом в левой части полагалось, что $1/c \ll 1/(4\alpha v_F X)$, и, кроме того, учтено, что можно пренебречь зависимостью коэффициентов при ω и ω^2 в (5), т.е. зависимостью $|X(k)|_{k=\omega/c}$ от ω . Действительно, имеет место $h_0/k = 1/\beta \gg 1$, поэтому

$$R\sqrt{h_0^2 - k^2} \approx \Lambda\omega_0 \approx 10^{-3},$$

где $\Lambda = R/(c\beta)$; ω_0 – несущая частота в случае квазимохроматического излучения.

Из условия $\Lambda\omega_0 \approx 10^{-3}$ следует, что $I_0(\Lambda\omega_0) \approx 1$, при излучении с небольшим спектральным разбросом частоты $\Delta\omega \sim |\omega - \omega_0| \ll \omega_0$ (квазимохроматическое излучение [13]) можно считать, что $I_0(\Lambda\omega) \approx 1$. Имеет место $K_0(\Lambda\omega_0) \approx K_0(10^{-3}) \approx 7,5$. При $\Delta\omega \ll \omega_0$ получаем

$$K_0(\Lambda\omega) \approx K_0(\Lambda\omega_0) + (\omega - \omega_0) \partial K_0(\omega) / \partial \omega \Big|_{\omega=\omega_0} \approx \\ \approx 7,5 - (\omega/\omega_0 - 1) \cdot 10^{-6} \approx 7,5.$$

Введем новую константу $\tilde{E} = 3 \cdot 10^6 \text{ В/м}$ и преобразуем правую часть (6) к виду

$$\frac{\beta^2 c^2}{2\pi RX} \frac{\partial E_{0z}}{\partial t} = \frac{I}{2\pi R} \frac{\partial}{\partial t} \left(\frac{E_{0z}}{\tilde{E}} \right), \quad (8)$$

где $I = N\beta^2 c^2 \tilde{E}/X$ (в системе СГС); N – поверхностная плотность вертикально ориентированных нанотрубок. Введем полную плотность тока

$$J = 2\pi R j^{(0)} N. \quad (9)$$

С учетом (8) и (9) уравнение (6) в окончательной форме запишется в виде

$$\frac{\partial^2 J}{\partial t^2} + v \frac{\partial J}{\partial t} + \omega^2 J = -I \frac{\partial}{\partial t} \left(\frac{E_{0z}}{\tilde{E}} \right), \quad (10)$$

где $\omega^2 = \beta^2 c^2 h_0^2$; $J \sim \exp(ih_0 z)$ [4, 5, 9].

Уравнение (10) позволяет получить аналог дипольного момента α_1 изолированной нанотрубки в поле высокочастотного излучения $E_{0z} \sim \exp(-i\omega t)$:

$$\alpha_1 = \frac{\omega^2}{\tilde{\omega}^2 - \omega^2 + iv\tilde{\omega}} \left(\frac{\beta^2 \lambda^2}{4\pi^2 |X|} \right), \quad (11)$$

где $\omega/c = 2\pi/\lambda$.

В (11) в отличие от формулы в [14] «дипольный момент» имеет размерность м^2 , что объясняется размерностью поверхностной плотности вертикально

ориентированных нанотрубок N . Резонансная частота, как и в [14], определяется величиной v , однако здесь мы полагали $v = 3,3 \cdot 10^{11} \text{ с}^{-1}$, что практически на 2 порядка меньше, чем в [14] ($v = 3 \cdot 10^{13} \text{ с}^{-1}$). Соответственно отличается для излучения область изменения циклической частоты ω . Рассматриваемый в настоящей статье подход позволяет в принципе использовать несколько слоев вертикально ориентированных нанотрубок длиной L (можно также использовать равномерное распределение вертикально ориентированных нанотрубок в конечном объеме). Если предположить, что расстояние между слоями нанотрубок равно $3L$, то в (11) выражение в круглых скобках преобразуется к виду

$$\frac{\beta^2 \lambda^2}{4\pi^2 |X|} \rightarrow \frac{3\beta^2}{4\pi^2 |X|} L \lambda^2.$$

В [14] выражение в круглых скобках равняется $LR^2/6$.

Пусть профиль нестационарного поля имеет вид «трапеции»

$$E_{0z} = E_0 f(t'), \quad f(t') = \begin{cases} t'/\Delta T_1, & 0 \leq t' < \Delta T_1, \\ 1, & \Delta T_1 \leq t' < \Delta T_1 + \Delta\tau, \end{cases} \quad (12)$$

где $t' = t - z/v_1$, $z' = z$, ΔT_1 — ширина переднего фронта. Из (10) в интервале времени $0 \leq t \leq \Delta T_1$ следует

$$J = \frac{I}{\omega^2 \Delta T_1} \left(-1 + \exp\left[-\frac{v t'}{2}\right] \cos\left[t' \sqrt{\omega^2 - (v/2)^2}\right] \right). \quad (13)$$

Имеет место приближенное соотношение $h/(2e^2) \approx 12,6 \text{ кОм}$ ($h = 2\pi\hbar$). Пусть $R = 4 \text{ нм}$, $\tau = 3 \cdot 10^{-12} \text{ с}$ ($v = 1/\tau = 3,3 \cdot 10^{11} \text{ с}^{-1}$, см. [3]), $\omega = 2\pi v$, $\tilde{E} = 3 \cdot 10^6 \text{ В/м}$, $E_0 = 3 \cdot 10^7 \text{ В/м}$, тогда $h_0 R = 2\pi R/(\lambda\beta) \approx 10^{-3}$, $I_0(10^{-3}) \approx 1$, $K_0(10^{-3}) \approx 7,5$, $X \approx -15$. Параметры нестационарного импульса выберем в соответствии с [15]: $\Delta T_1 = 10^{-10} \text{ с}$, $\Delta\tau = 3 \cdot 10^{-9} \text{ с}$. При $N = 10^6 \text{ см}^{-2}$ [поверхностная плотность нанотрубок (см. [16])], $v_F = 10^6 \text{ м/с}$, $\tilde{E} = 3 \cdot 10^6 \text{ В/м}$ получаем $\beta \approx 0,03$; $I \approx 1,8 \cdot 10^{19} \text{ А}/(\text{с} \cdot \text{м}^2)$, $I/(\omega^2 \Delta T_1) \approx 4,3 \cdot 10^5 \text{ А}/\text{м}^2$.

Поле излучения $E(t, z)$ определялось путем численного решения волнового уравнения

$$\frac{\partial^2 E(t, z)}{\partial t^2} - v^2 \frac{\partial^2 E(t, z)}{\partial z^2} = -\frac{1}{\epsilon_0} \left(\frac{v_1}{c} \right)^2 \frac{\partial J(t, z)}{\partial t}, \quad (14)$$

где ϵ_0 — электрическая постоянная, в совокупности с уравнением (10) в предположении, что $v_1 = c$.

Из уравнения (14) можно получить приближенное аналитическое решение. Предполагая, что $|E| \gg |P/\epsilon_0|$, получаем

$$\frac{\partial^2 E}{\partial t' \partial z'} = -\frac{\mu_0 c}{2} \frac{\partial J}{\partial t'}, \quad (15)$$

μ_0 — магнитная постоянная, где при выводе (15) учтено, что $|\partial E/\partial z'| \ll |\partial E/c \partial t'|$. Из (15) получаем

$$\frac{\partial E}{\partial z'} = -\frac{\mu_0 c}{2} (J(t') - J(t' = 0)) \quad (16)$$

или, с учетом граничного условия $E(z' = 0, t') = 0$ и условия $J(t' = 0)$:

$$E(t, z) = -\frac{\mu_0 c z}{2} (J(t - z/c) - J(0)) = -\frac{\mu_0 c I}{2\omega^2 \Delta T_1} z \times \times \left\{ 1 - \exp\left(-\frac{v(t - z/c)}{2}\right) \cos\left[(t - z/c)\sqrt{\omega^2 - (v/2)^2}\right] \right\}. \quad (17)$$

На рис. 1 показана зависимость плотности тока J от продольной координаты z в момент времени $t = 5 \cdot 10^{-11} \text{ с}$ (передний фронт распространится на расстояние $\approx 1,5 \text{ см}$), полученная численным решением уравнения (10) при $v_1 = c$.

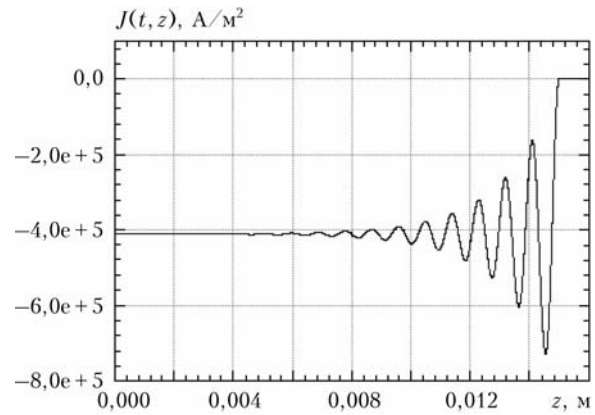


Рис. 1. Распределение плотности тока J по координате z на время $t = 5 \cdot 10^{-11} \text{ с}$

Численное решение полностью совпало с аналитическим решением (13). В этом случае плотность тока имеет постоянную составляющую и быстро осциллирующую часть с периодом осцилляций $\Delta z \approx 2\pi c/\omega \approx 0,9 \text{ мм}$. Из (13) следует, что при $v \ll \omega$ амплитуда колебаний быстро осциллирующей части поля равнялась бы величине постоянной составляющей поля. Незначительное отклонение объясняется относительно большим значением v .

На рис. 2 приведена зависимость поля излучения $E(t, z)$ от координаты z , где поле определялось из волнового уравнения при $v_1 = c$ в момент времени $t = 5 \cdot 10^{-11} \text{ с}$.

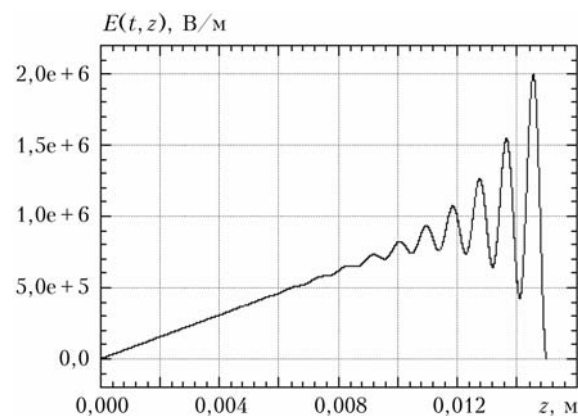


Рис. 2. Распределение поля излучения по координате z на время $t = 5 \cdot 10^{-11} \text{ с}$

Решение, так же, как и в случае плотности тока, содержит медленно меняющуюся составляющую и быстро осциллирующую часть. Амплитуда быстро осциллирующей части поля порядка $\sim 10^6$ В/м. При численном решении волнового уравнения (14) в предположении, что $v_1 = c$, производная второго порядка по переменной z на разностной сетке z_j аппроксимировалась выражением

$$\frac{\partial^2 E(t, z)}{\partial z^2} \approx \frac{E_{j+1} - 2E_j + E_{j-1}}{\Delta z^2},$$

в котором j — номер узла; $\Delta z = z_{j+1} - z_j$ — шаг сетки, принятый постоянным для всех номеров j . В результате уравнение (14) превращается в систему обыкновенных дифференциальных уравнений

$$\frac{\partial^2 E(t, z_j)}{\partial t^2} = v^2 \frac{E_{j+1} - 2E_j + E_{j-1}}{\Delta z^2} - \frac{1}{\epsilon_0} \left(\frac{v_1}{c} \right)^2 \frac{\partial J(t, z_j)}{\partial t}, \quad (18)$$

порядок которой определяется числом узлов разностной сетки по переменной z . Решение уравнения (10) и системы уравнений (18) осуществлялось с помощью библиотеки стандартных программ IMSL языка программирования Fortran-95.

На рис. 3 приведена зависимость для плотности тока J от продольной координаты z в момент времени $t = 5 \cdot 10^{-10}$ с (передний фронт распространится на расстояние ≈ 15 см).

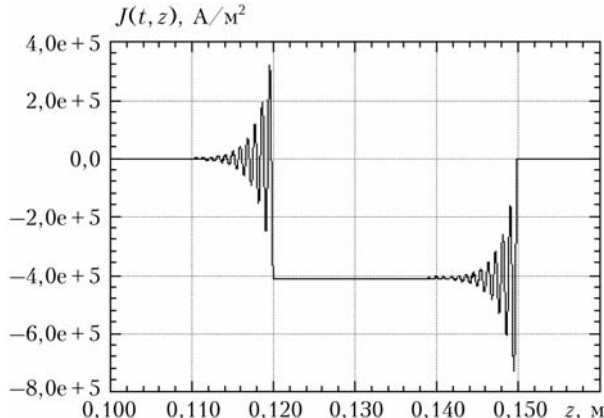


Рис. 3. Распределение плотности тока J по координате z на время $t = 5 \cdot 10^{-10}$ с

Медленно меняющаяся составляющая представляет собой по сути функцию $f(t')$ из (12). Быстро осциллирующая часть содержит две области осцилляции, которые обусловлены передним и задним фронтами нестационарного поля (12).

На рис. 4 приведена зависимость поля излучения от координаты z в момент времени $t = 5 \cdot 10^{-10}$ с. Быстро осциллирующая часть поля излучения содержит две области, причем амплитуда колебаний переднего импульса порядка $\sim 10^7$ В/м, а заднего в 2 раза меньше.

Из полученных результатов следует, что с помощью нестационарного электрического поля с напряженностью $E_0 = 3 \cdot 10^6$ В/м, шириной переднего

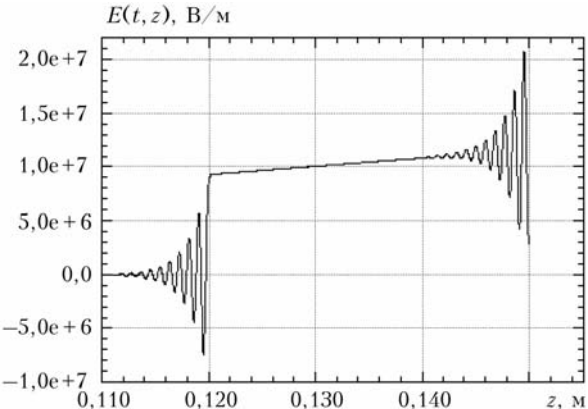


Рис. 4. Распределение поля излучения по координате z на время $t = 5 \cdot 10^{-10}$ с

фрона $\Delta T_1 \approx 10^{-10}$ с длительностью $\Delta \tau \approx 10^{-9}$ с на расстояниях $\Delta z \sim 10$ см возможна генерация коротких СВЧ-импульсов (излучение в несколько периодов колебаний) с длиной волны ~ 1 мм и с амплитудой поля $\sim 10^7$ В/м. Длительность коротких импульсов определяется величиной v из (10). Она же определяет условие реализации высокоеффективных наноантенн [8] (малые физические потери) $\omega \gg R_a/L_k$. Действительно, из (3) следует выражение для кинетической индуктивности [12] $L_k = h/(8e^2 v_F)$ [см. (1)] и активного электрического сопротивления $R_a = 1/(2\pi R\sigma_z) \approx h/(8e^2 v_F \tau)$ на единицу длины нанотрубки. Тогда условие реализации высокоеффективных наноантенн записывается $\omega \gg R_a/L_k \approx 1/\tau = v \approx 3 \cdot 10^{11}$ с⁻¹. В данной работе полагалось $\omega = 2\pi v$.

Работа выполнена по проекту РФФИ № 10-02-96012.

1. Yevtushenko O.M., Slepyan G.Ya., Maksimenko S.A., Lakhtakia A., Romanov D.A. Nonlinear electron transport effects in a chiral carbon nanotube // Phys. Rev. Lett. 1997. V. 79, N 6. P. 1102–1105.
2. Slepyan G.Ya., Maksimenko S.A., Lakhtakia A., Yevtushenko O.M. Electronic and electromagnetic properties of nanotubes // Phys. Rev. B. 1998. V. 57, N 16. P. 9485–9497.
3. Slepyan G.Ya., Maksimenko S.A., Lakhtakia A., Yevtushenko O.M., Gusakov A.V. Electrodynamics of carbon nanotubes: Dynamic conductivity, impedance boundary conditions and surface wave propagation // Phys. Rev. B. 1999. V. 60, N 24. P. 17136–17149.
4. Максименко С.А., Слепян Г.Я. Электродинамика углеродных нанотрубок // Радиотехн. и электрон. 2002. Т. 47, № 3. С. 261–280.
5. Максименко С.А., Слепян Г.Я. Электромагнитные свойстваnanoструктур // Вестн. фонда фундаментальных исследований. 2006. № 4. С. 92–113.
6. Maksimenko S.A., Slepyan G.Ya. Nano electromagnetics of low-dimensional structures // The Handbook of Nanotechnology: Nanometer structure Theory, Modeling, and Simulation / Ed. by A. Lakhtakia // SPIE Press. 2004. P. 145–206.
7. Maksimenko S.A., Slepyan G.Ya., Batrakov K.B., Khruzhchinsky A.A., Kuznir P.P., Nemilentsau A.M., Shuba M.V. Electromagnetic waves in carbon nanostructures // Carbon Nanotubes and Related Structures E / Ed. by V. Blank and B. Kulnitskiy // Res. Signpost Publisher. 2008. P. 147–187.

8. *Hagmann M.J.* Isolated carbon nanotubes as high-impedance transmission lines for microwave through terahertz frequencies // IEEE Trans. on Nanotechnol. 2005. V. 4, N 2. P. 289–296.
9. *Дьячков П.Н.* Электронные свойства и применение нанотрубок. М.: БИНОМ, Лаборатория знаний. 2011. 488 с.
10. *Slepyan G.Ya., Shuba M.V., Maksimenko S.A., Lakhtakia A.* Theory of optical scattering by achiral carbon nanotubes and their potential as optical nanoantennas // Phys. Rev. B. 2006. V. 73. P. 195–416.
11. *Rutherford C., Burke P.* Nanoelectromagnetics: circuit and electromagnetic properties of carbon nanotubes // Small. 2009. V. 5, N 8. P. 884–906.
12. *Burke P., Li S., Yu Z.* Quantitative theory of nanowire and nanotube antenna performance // IEEE Trans. Nanotechnol. 2006. V. 5, N 4. P. 314–334.
13. *Садыков Н.Р., Садыкова М.О.* Распространение сверхкоротких импульсов в нелинейных диспергирующих средах при наличии поглощения // Оптика атмосф. и океана. 1998. Т. 11, № 2–3. С. 223–227; *Садыков Н.Р.* Эволюция огибающей субпикосекундных импульсов // Оптика и спектроскопия. 1999. Т. 86, № 2. С. 307–310; *Садыков Н.Р.* Эволюция солитонов в одномодовых волоконных световодах с несмешенной дисперсией // Оптика и спектроскопия. 2001. Т. 90, № 5. С. 812–816.
14. *Slepyan G.Ya., Shuba M.V., Maksimenko S.A., Thomson C., Lakhtakia A.* Terahertz conductivity peak in composite materials containing carbon nanotubes: Theory and interpretation of experiment // Phys. Rev. B. 2010. V. 81. P. 205423-1–205423-6.
15. *Месяц Г.А., Яландин М.И.* Пикосекундная электроника больших мощностей // Успехи физ. наук. 2005. Т. 175, № 3. С. 225–246; *Месяц Г.А.* Законы подобия в импульсных газовых разрядах // Успехи физ. наук. 2006. Т. 176, № 10. С. 1069–1091.
16. *Белоненко М.Б., Глазов С.Ю., Мещеряков Н.Е.* Влияние переменного электрического поля на проводимость однослойных углеродных нанотрубок полупроводникового типа // Физика и техника полупроводников. 2010. Т. 44, вып. 9. С. 1248–1253.

N.R. Sadykov, N.A. Scorkin. Influence of non-stationary electric field on carbon nanotubes.

The mechanism of influence of non-stationary electric field on a system of nanotubes is considered. On the basis of the received results the effect of generation of millimeter radiation is predicted. The results of mathematical simulation are adduced.